

*Э.Э. Шпильрайн<sup>2</sup>, С.И. Вайнштейн<sup>3</sup>, А.П. Севастьянов<sup>1</sup>, Ю.А. Севастьянов<sup>1</sup>*

Московский энергетический институт (технический университет), Россия (1)

Институт высоких температур РАН, Москва, Россия (2)

Московский государственный университет инженерной экологии, Россия (3)

## ОСОБЕННОСТИ РАБОТЫ СВЕРХЗВУКОВОГО ДВУХФАЗНОГО ДИФФУЗОРА КОНДЕНСИРУЮЩЕГО ИНЖЕКТОРА

### АННОТАЦИЯ

Процессы в камере смешения (КС) конденсирующего инжектора (КИ) завершаются переходом к сверхзвуковому потоку пенной или пузырьковой структуры. При наличии противодавления (достаточной интенсивности) пузырьковое течение скачком преобразуется в однофазное жидкое течение.

Повышение давления в двухфазном потоке большой влажности при течении в диффузоре происходит в два этапа: 1) в скачке; 2) при торможении несжимаемой жидкости в расширяющемся канале. Поэтому возникает вопрос о наиболее выгодном сочетании этих двух этапов, при котором обеспечивается максимально возможное повышение давления в диффузоре.

В работе проанализирована модель течения в двухфазном диффузоре, построенная на экспериментально обоснованных допущениях, проведена оценка влияния на выходное противодавление объёмного влагосодержания и представлена формула, определяющая оптимальное влагосодержание, соответствующее максимальному противодавлению

### 1. ВВЕДЕНИЕ

Измерения скорости жидкой фазы в конце камеры смешения и диффузоре, проведённые авторами, показывают, что скорость потока в двухфазной зоне (равная скорости жидкости из-за малого скольжения) на всех режимах больше равновесной (термодинамической) скорости звука  $a_l$ , но существенно меньше замороженной скорости звука  $a_f$ . Следовательно, по отношению к  $a_l$  поток является сверхзвуковым и поэтому должны проявляться эффекты, характерные для сверхзвукового режима течения. В этих условиях при повышении давления  $P_d$  в диффузоре появляется полностью размытая ударная волна, перемещающаяся по мере увеличения  $P_d$  к горлу диффузора. Её интенсивность при этом увеличивается и возрастает число Маха  $M_l$ , рассчитанное по значению равновесной скорости звука  $a_l$ . Вдоль камеры смешения, начиная с сечения структурного перехода,  $M_l$  немонотонно возрастает, так что в горле диффузора имеется максимум  $M_l$ , связанный с устойчивостью положения скачка в горле диффузора [2]. Из опытов также следует, что при повышении значений  $P_d$  давление в камере смешения не изменяется, т.е. течение в конце камеры смешения и диффузоре остаётся сверхзвуковым

и по отношению к возмущениям, возникающим в диффузоре конденсирующего инжектора.

### 2. ОСОБЕННОСТИ РАБОТЫ СВЕРХЗВУКОВОГО ДВУХФАЗНОГО ДИФФУЗОРА

Опытные данные показывают, что при скоростях двухфазного потока большой влажности, превосходящих местную термодинамическую скорость звука, процесс восстановления в диффузоре существенным образом отличается от восстановления давления в однофазных потоках. Это различие связано с наличием зоны весьма больших положительных градиентов давления и плотности (далее эта зона называется просто скачком), в которой происходит конденсация паровой фазы.

Изменение давления за диффузором (противодавление) приводит к перемещению скачка в продольном направлении, не оказывая влияния на участок течения, расположенный перед скачком. При изобарической конденсации в КС КИ, что наблюдается в экспериментах при значениях  $\bar{F}_{\text{д}} > 0,7$ , максимальному значению противодавления, при котором ещё возможно установившееся течение, соответствует расположение скачка в устье (горловине) диффузора. При этом фронт скачка достаточно близок к прямому. В этом случае модель течения может быть представлена следующим образом: на входе в диффузор поток двухфазный, одномерный, равновесный термодинамически, течение установившееся, скольжение фаз отсутствует; в цилиндрической части (горле) диффузора расположен прямой скачок, в котором происходит полная конденсация пара. Протяжённость скачка полагается нулевой; при этом допускается, что потерями трения в зоне скачка можно пренебречь.

Восстановление давления определяется на основании законов сохранения количества движения и массы в следующем виде:

$$\Delta p = p_d - p_1 = \frac{1}{2} \rho_{\text{ж}} [2C_2(C_1 - C_2) + (C_2^2 - C_0^2) \times \\ \times (1 - \xi_{\text{д}})] = \rho_{\text{ж}} [C_2 C_1 - 0,5 C_2^2 (2 - \eta_{\text{д}})], \quad (1)$$

где  $\eta_{\text{д}} = 1 - \xi_{\text{д}} = (p_d - p_2)/(0,5 \rho_{\text{ж}} C_2^2)$  – КПД диффузора;  $\xi_{\text{д}}$  – коэффициент диссипативных потерь в расходящейся части диффузора;  $C$  – скорость по-

тока; индексы «1», «2» и «д» относятся к сечениям перед скачком, за ним и на выходе из диффузора.

Величина  $\xi_d$  в общем случае зависит от формы диффузора и условий на входе в него. В первом приближении можно полагать, что для диффузора данной геометрии в каждом рассматриваемом случае величина  $\xi_d$  может быть задана.

Введя масштаб, который имеет физический смысл динамического напора в предельном случае полной конденсации паровой составляющей перед скачком, и преобразуя (1) к удобному для анализа виду, получаем

$$\Delta\bar{p} = \Delta p / (0.5\rho_{jk} C_1^2) = 2[\varphi_{jk}(1-\bar{p}) + \rho] + (1-\varphi_{jk})(1-\bar{p}) + (1+\xi_d)[\varphi_{jk}(1-\bar{p}) + \bar{p}]^2, \quad (2)$$

где  $\varphi_{jk}$  – доля сечения перед скачком, занятая жидкостью, которая при отсутствии скольжения численно совпадает с объемным влагосодержанием;  $\bar{p} = p_p / \rho_{jk}$ .

Построенный таким образом безразмерный перепад давления  $\Delta\bar{p}$ , хотя численно и не совпадает с КПД двухфазного диффузора, все же является некоторой мерой эффективности процесса восстановления давления в системе скачок – диффузор.

Анализ (2) показывает, что в случае  $\bar{p} = const$ , соответствующем постоянству давления (температуры) двухфазного потока перед скачком, зависимость  $\Delta\bar{p}(\varphi)$  имеет максимум:

$$\varphi_{jk\ opt} = \left( 1 - \frac{\bar{p}}{1 + \bar{p}} \right) \xi_d (1 + \xi_d). \quad (3)$$

При этом в области низких давлений, характерных для органических рабочих тел (OPT),  $\bar{p} \ll 1$ . Это позволяет при  $\varphi_{jk} \gg \bar{p}$  упростить выражения (2) и (3):

$$\Delta\bar{p} = 2\varphi_{jk} - (1 + \xi_d)\varphi_{jk}^2; \quad (4)$$

$$\varphi_{jk\ opt} = 1 / (1 + \xi_d). \quad (5)$$

Графическое изображение зависимости (4) представлено на рис.1. На линии  $\xi_d = 1$  давление на выходе из диффузора равно давлению непосредственно за скачком вследствие того, что все количество движения за скачком затрачивается на преодоление потерь в диффузоре  $\Delta p = \Delta p_{sk}$ . Следовательно, эта кривая одновременно отображает восстановление давления собственно в скачке (для всех значений  $\xi_d$ ). С увеличением объемного влагосодержания сжимаемость потока уменьшается, что влечет за собой уменьшение потерь в скачке, заканчивающемся полной конденсацией, но при этом одновременно уменьшается используемая для повышения давления в скачке разность количества движения  $C_1 / C_2 = 1/\varphi$ . Наличием двух действующих в противоположных направлениях эффектов объясняется существование максимума  $\Delta\bar{p}$  по  $\varphi_{jk}$ .

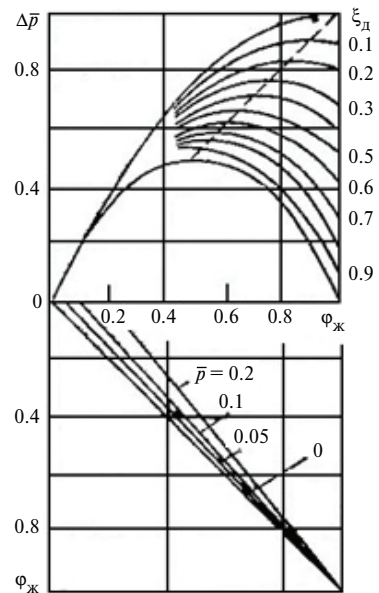


Рис. 1. Графики относительного восстановления давления в двухфазном диффузоре

При  $\xi_d = 1$  максимальное восстановление давления имеет место при  $\varphi_{jk} = 0,5$ , а после подстановки  $\varphi_{jk\ opt} = 0,5$  в (2) находим  $\Delta\bar{p}_{max} = 0,25\rho_{jk} C_1^2$ .

При  $\xi_d = 0$   $(\varphi_{jk\ opt})_{\xi_d=0} = 1$ . Это значит, что

для достижения наибольшей эффективности двухфазного диффузора, при условии  $\xi_d = 0$  все восстановление давления следовало бы проводить в диффузоре без скачка (что осуществимо для потока, объемное паросодержание которого практически равно нулю).

Из (2) видно, что влияние  $\xi_d$ , если его рассматривать как независимый параметр, является линейным и проявляется почти прямо пропорционально величине  $\varphi_{jk}^2$ :

$$\partial\Delta\bar{p} / \partial\xi_d = -[\varphi_{jk}(1-\bar{p}) + \bar{p}]^2.$$

Очевидно, что  $\Delta\bar{p}$  совершенно одинаковым образом зависит от  $\varphi_{jk}$  (при условии, что  $\varphi_{jk} \gg \bar{p}$ ) и от  $\bar{C} = C_2 / C_1$  (независимо от характера изменения  $\bar{p}$  и  $\varphi_{jk}$ ). Поэтому кривые  $\Delta\bar{p}(\varphi_{jk})$  при  $\xi_d$  как параметре на рис.1 тождественно совпадают с кривыми  $\Delta\bar{p}(\bar{C})$  при  $\xi_d$  как параметре. Для удобства представления в таком виде в нижней половине рис.1 построена зависимость  $\varphi_{jk}(\bar{C})$  (при  $\bar{p}$  как параметре), представляющая собой семейство прямых, проходящих через точку  $\bar{C} = 1$ ,  $\varphi_{jk} = 1$  и точки  $\bar{C} = \bar{p}$  при  $\varphi_{jk} = 0$ . Поэтому можно, установив значение  $\bar{C}$ , затем определять  $\varphi$  (по заданному  $\bar{p}$  или наоборот). Рассмотрение семейства прямых  $\varphi(\bar{C})$  еще раз подтверждает, что при  $\Delta\bar{p}(\bar{C})$   $\bar{p} \ll \varphi_{jk}$ ,  $\varphi_{jk} \approx \bar{C}$  и ось абсцисс можно рассматривать

вать как ось  $\bar{C}$  и  $\Phi_{ж}$  одновременно. При таком представлении зависимости (1) безразмерное восстановление давления является функцией только двух аргументов, один из которых определяет интенсивность скачка, а другой – диссипативные потери в дозвуковом потоке за скачком, т.е. достигается предельная простота связей.

## ЗАКЛЮЧЕНИЕ

При повышении давления в КИ в два этапа, при принятых допущениях и изобарической КС получена формула, определяющая оптимальное влагосодержание, соответствующее максимальному противодавлению. Уменьшение проходного сечения горла диффузора ведет к неизобаричности КС, появлению больших градиентов давления в конце КС (в сверхзвуковом потоке), что создает условия для неизбежного возникновения скачков уплотнения. Перемещение начала скачка в КС, увеличение его глубины вызывают заметное повышение потерь в скачке и в КС, которое ослабляет заметным образом выигрыш в эффективности, ожидаемой от уменьшения  $\bar{F}_{тд}$ . Расположение скачка в зоне площади

КС, большей, чем площадь горловины диффузора, соответствует значению  $\Phi_{ж}$ , отличному от  $\Phi_{ж opt}$ .

## СПИСОК ОБОЗНАЧЕНИЙ

$p$  – давление, Н/м<sup>2</sup>;

$C$  – скорость, м/с;

$\rho$  – плотность, кг/м<sup>3</sup>;

$\varphi$  – объемное соотношение;

$\xi$  – коэффициент диссипативных потерь;

$\eta$  – коэффициент полезного действия;

$\Delta$  – разность.

Индексы:

$п, ж$  – пар, жидкость;

$1$  – состояние до скачка;

$2$  – состояние после скачка;

$д$  – диффузор.

## СПИСОК ЛИТЕРАТУРЫ

1. Анализ эффективности работы однокомпонентного конденсационного инжектора с малым горлом диффузора / Э.Э. Шпильрайн, И.В. Ан, С.И. Вайнштейн, А.П. Севастьянов и др. // Теплоэнергетика. 1976. № 5. С. 62–70.